

Starkniederschlagshöhen und -spenden gemäß KOSTRA-DWD-2010R

Auswertungszeitraum von 1951 - 2010, Januar - Dezember

Rasterfeld: 89028

Zeile: 89

Spalte: 28

Seite: 1/2

| Dauerstufe D | Wiederkehrzeit T | | | | | | | | | | | | | | | | | | |
|--------------|------------------|------|------------|------|------------|------|------------|------|------------|------|------------|-------|------------|-------|------------|-------|------------|-------|------------|
| | 1 a | | 2 a | | 3 a | | 5 a | | 10 a | | 20 a | | 30 a | | 50 a | | 100 a | | |
| min | Std | mm | l / (s ha) | mm | l / (s ha) | mm | l / (s ha) | mm | l / (s ha) | mm | l / (s ha) | mm | l / (s ha) | mm | l / (s ha) | mm | l / (s ha) | mm | l / (s ha) |
| 5 | | 6,2 | 206,7 | 8,7 | 290,0 | 10,1 | 336,7 | 11,9 | 396,7 | 14,3 | 476,7 | 16,8 | 560,0 | 18,2 | 606,7 | 20,0 | 666,7 | 22,4 | 746,7 |
| 10 | | 9,8 | 163,3 | 13,1 | 218,3 | 14,9 | 248,3 | 17,3 | 288,3 | 20,5 | 341,7 | 23,8 | 396,7 | 25,7 | 428,3 | 28,0 | 466,7 | 31,3 | 521,7 |
| 15 | | 12,2 | 135,6 | 16,0 | 177,8 | 18,2 | 202,2 | 21,0 | 233,3 | 24,8 | 275,6 | 28,6 | 317,8 | 30,8 | 342,2 | 33,6 | 373,3 | 37,4 | 415,6 |
| 20 | | 13,9 | 115,8 | 18,1 | 150,8 | 20,6 | 171,7 | 23,8 | 198,3 | 28,0 | 233,3 | 32,3 | 269,2 | 34,8 | 290,0 | 37,9 | 315,8 | 42,1 | 350,8 |
| 30 | | 16,1 | 89,4 | 21,1 | 117,2 | 24,0 | 133,3 | 27,7 | 153,9 | 32,7 | 181,7 | 37,7 | 209,4 | 40,6 | 225,6 | 44,3 | 246,1 | 49,3 | 273,9 |
| 45 | | 18,0 | 66,7 | 23,9 | 88,5 | 27,3 | 101,1 | 31,6 | 117,0 | 37,5 | 138,9 | 43,4 | 160,7 | 46,9 | 173,7 | 51,2 | 189,6 | 57,1 | 211,5 |
| 60 | | 19,1 | 53,1 | 25,7 | 71,4 | 29,6 | 82,2 | 34,4 | 95,6 | 41,1 | 114,2 | 47,7 | 132,5 | 51,5 | 143,1 | 56,4 | 156,7 | 63,0 | 175,0 |
| 90 | | 21,5 | 39,8 | 28,3 | 52,4 | 32,3 | 59,8 | 37,3 | 69,1 | 44,1 | 81,7 | 50,9 | 94,3 | 54,9 | 101,7 | 59,9 | 110,9 | 66,7 | 123,5 |
| 120 | 2 | 23,4 | 32,5 | 30,3 | 42,1 | 34,4 | 47,8 | 39,5 | 54,9 | 46,5 | 64,6 | 53,4 | 74,2 | 57,5 | 79,9 | 62,6 | 86,9 | 69,6 | 96,7 |
| 180 | 3 | 26,3 | 24,4 | 33,5 | 31,0 | 37,7 | 34,9 | 42,9 | 39,7 | 50,1 | 46,4 | 57,3 | 53,1 | 61,5 | 56,9 | 66,7 | 61,8 | 73,9 | 68,4 |
| 240 | 4 | 28,6 | 19,9 | 35,9 | 24,9 | 40,2 | 27,9 | 45,6 | 31,7 | 52,9 | 36,7 | 60,2 | 41,8 | 64,5 | 44,8 | 69,9 | 48,5 | 77,2 | 53,6 |
| 360 | 6 | 32,2 | 14,9 | 39,7 | 18,4 | 44,1 | 20,4 | 49,7 | 23,0 | 57,2 | 26,5 | 64,8 | 30,0 | 69,2 | 32,0 | 74,8 | 34,6 | 82,3 | 38,1 |
| 540 | 9 | 36,2 | 11,2 | 44,0 | 13,6 | 48,5 | 15,0 | 54,3 | 16,8 | 62,0 | 19,1 | 69,8 | 21,5 | 74,4 | 23,0 | 80,1 | 24,7 | 87,8 | 27,1 |
| 720 | 12 | 39,4 | 9,1 | 47,3 | 10,9 | 52,0 | 12,0 | 57,8 | 13,4 | 65,8 | 15,2 | 73,7 | 17,1 | 78,3 | 18,1 | 84,2 | 19,5 | 92,1 | 21,3 |
| 1080 | 18 | 44,3 | 6,8 | 52,5 | 8,1 | 57,3 | 8,8 | 63,3 | 9,8 | 71,5 | 11,0 | 79,7 | 12,3 | 84,5 | 13,0 | 90,5 | 14,0 | 98,7 | 15,2 |
| 1440 | 24 | 48,2 | 5,6 | 56,6 | 6,6 | 61,4 | 7,1 | 67,6 | 7,8 | 76,0 | 8,8 | 84,3 | 9,8 | 89,2 | 10,3 | 95,3 | 11,0 | 103,7 | 12,0 |
| 2880 | 48 | 58,5 | 3,4 | 67,9 | 3,9 | 73,4 | 4,2 | 80,4 | 4,7 | 89,8 | 5,2 | 99,3 | 5,7 | 104,8 | 6,1 | 111,7 | 6,5 | 121,2 | 7,0 |
| 4320 | 72 | 65,5 | 2,5 | 75,6 | 2,9 | 81,5 | 3,1 | 88,9 | 3,4 | 99,0 | 3,8 | 109,0 | 4,2 | 114,9 | 4,4 | 122,3 | 4,7 | 132,4 | 5,1 |

Angaben in mm: Bemessungsniederschlagswerte h(n)

Angaben in l / (s ha): Regenspende R(n) mit $R(n) = h(n) \times 1,666667 / D[\text{min}]$

Toleranzbereiche:

+/- 10 % für $1 a \leq T \leq 5 a$

+/- 15 % für $5 a < T \leq 50 a$

+/- 20 % für $50 a < T \leq 100 a$

Datenbasis: KOSTRA-DWD-2010R des Deutschen Wetterdienstes. Die Regenspende wurde auf Basis des Bemessungsniederschlags zur jeweiligen Andauer berechnet.

Für die Richtigkeit und Aktualität der Angaben wird keine Gewähr übernommen. Erstellt 07/2022.

Starkniederschlagshöhen und -spenden gemäß KOSTRA-DWD-2010R

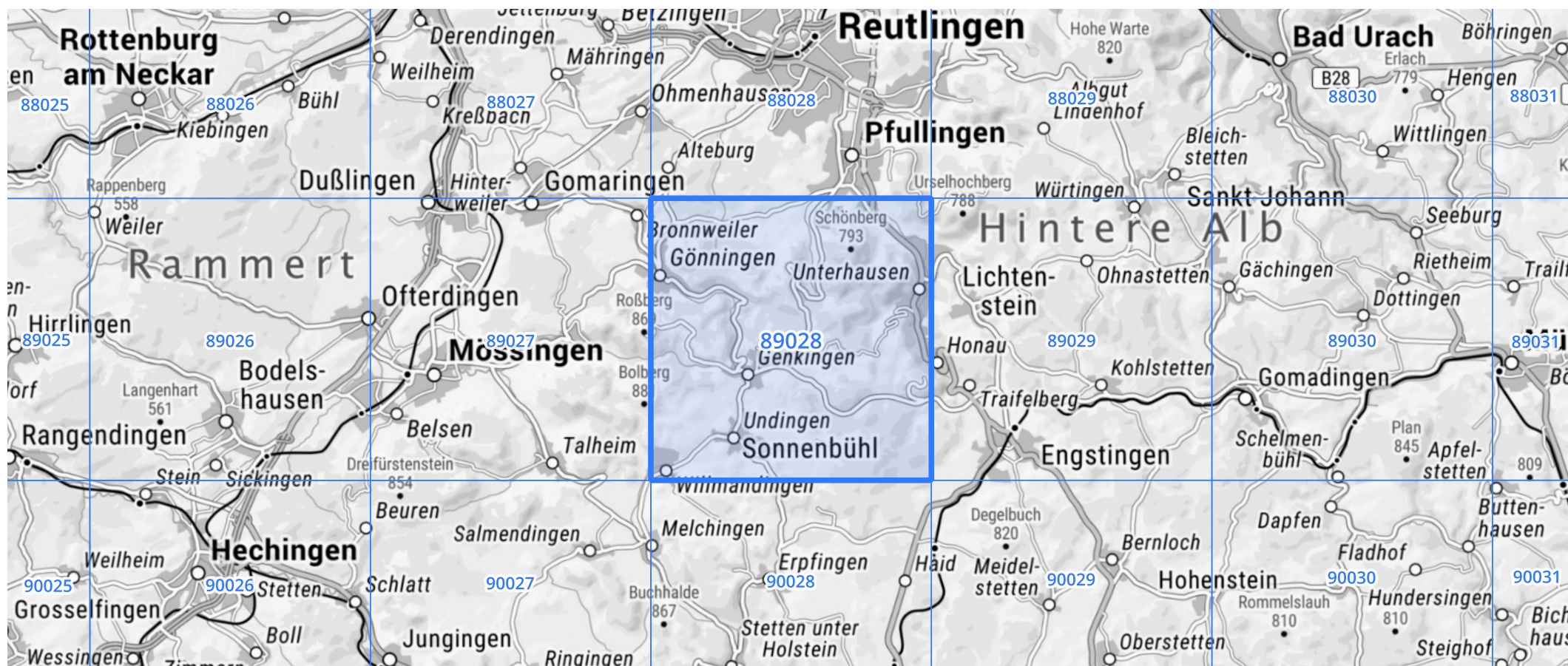
Auswertungszeitraum von 1951 - 2010, Januar - Dezember

Rasterfeld: 89028

Zeile: 89

Spalte: 28

Seite: 2/2



Quelle Rasterdaten: KOSTRA-DWD-2010R des Deutschen Wetterdienstes.

Kartendarstellung: © Bundesamt für Kartographie und Geodäsie (2022), Datenquellen: https://sgx.geodatenzentrum.de/web_public/gdz/datenquellen/Datenquellen_TopPlusOpen.html

Für die Richtigkeit und Aktualität der Angaben wird keine Gewähr übernommen. Erstellt 07/2022.